

斜孔を有する厚板における応力集中部の定常クリーケージ解析

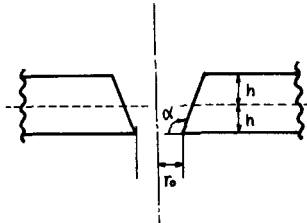
京都大学工学部 正員 小西一郎
 京都大学工学部 正員 白石成人
 日本鉄道建設公团 正員 ○高山博文

1. まえがき

穴面が、板面に対して、垂直な場合について、その孔周辺の応力状態の解析は、応力集中の問題として、種々の形状の穴を有する板に対して明らかにされてゐる。

(かしながら、穴面が板面に対して傾斜している場合については、殆んど明らかにされていない。)

本稿では、一つの試みとして、中央部に、テート状の孔を有する厚板(下図参照)が、その周上、あるいは、孔面において、等分布引張荷重、等分布圧縮荷重を受ける際の、孔周辺の応力状態に対して、板面と、孔面とのなす角度 α が、いかなる影響を及ぼすかについて明らかにするとともに、高温域における、クリーケージ運動、特に、定常クリーケージ状態での応力分布について、解析を行なう。



2. 解析方法

クリーケージ運動には、通常、時間が非線形パラメータといふ含まれるから、この種の問題は、単に非線形のみならず、非定常の問題としても取り扱うことになる。

このような複雑な現象においては、解析的手法は限界があり、やはり、有限要素法を中心とした Systematic 計算手法が有利と思われる。

本稿では、有限要素として、三角形リニア要素を使用し、アイソパラメトリック要素として、定式化した。

いま、微小時間△t間に生ずる全ひずみ増分 $\Delta\varepsilon_{ij}$ が、

$$\Delta\varepsilon_{ij} = \Delta\varepsilon_{ij}^e + \Delta\varepsilon_{ij}^c \quad (1)$$

となる。

$\Delta\varepsilon_{ij}^e$: 弾性ひずみ増分、 $\Delta\varepsilon_{ij}^c$: クリーケージひずみ増分

と表せられるものとする。

また、応力増分 $\Delta\sigma_{ij}$ と $\Delta\varepsilon_{ij}$ との間に、次の関係がある。

$$\Delta\sigma_{ij} = D_{ijkl} \Delta\varepsilon_{kl}^e \quad (2)$$

ここで

D_{ijkl} : 弾性係数マトリックス、

また、クリープひずみ速度 $\dot{\epsilon}_c^t$ が過去の履歴に無関係に表現されるものとする (Creep as a change-of-state process)、 $\Delta \dot{\epsilon}_c^t$ は、流動理論に従う。

$$\Delta \dot{\epsilon}_c^t = R_{\text{yield}} \Delta \sigma \quad (3)$$

(3)

ここで

入：この時点における応力、温度などの関数。

R_{yield} : S_{ij} , S_{ij} : 偏差応力

(1), (2), (3) 式を 1).

$$\Delta T_i^{(n)} = D_{ijkl} (\Delta \dot{\epsilon}_{ijkl}^{(n)} - \lambda^{(n-1)} R_{\text{yield}} T_{mn}^{(n-1)} \Delta t) \quad (4)$$

ここで、(n) は、時間に関する n ステップ Δt , (n-1) は、n-1 ステップ Δt を示すもの意味する。

つまり、場合クリープひずみは、1 ステップ前の応力から推定され、それを初期ひずみとして取り扱う。

(4) + 1). 有限要素剛性方程式は 次のように表示される。
2)

$$K_{ij} \Delta U_j = \Delta F_i^M + \Delta F_i^C + \Delta F_i^T + \Delta \epsilon_i \quad (5)$$

ここで、

K_{ij} : 弾性剛性マトリックス , ΔU_j : 節点変位増分

ΔF_i^M : 機械的荷重増分ベクトル , ΔF_i^C : クリープ荷重増分ベクトル

$\Delta \epsilon_i$: 前入力ベクトルへの不釣合力補正ベクトル

ヤング率などの変化を考えないものとし、微小変形理論に限れば (5) 式において、 K_{ij} は一定値となるので、並行列演算は、一度で済むことになり、経済的である。

しかし、 Δt が大きすぎると不安定となるので、本稿においては、時間の経過と共に、累積的に増加するよう正規化し、 Δt がある値 Δt_{\max} に達した後は、一定とした。

3. 解析結果

上記の方法によると、 α および h/r_0 の $10^3 \times 10^3 \times 10^3 = 1.2$ 乳頭部の応力状態を求めた結果、例えば、弾性状態において、 $h/r_0 = 1$, $\alpha = 150^\circ$ と 2° の σ_{max} は、 $h/r_0 = 1$, $\alpha = 90^\circ$ の時のそれに対して約 2.3 倍の値を得た。解析結果の詳細については、当日報告する。

なお、本研究を進めるに当たり、多大の協力を賜りました。橋梁工学研究室谷口健男助手はじめとして、研究室の諸兄に感謝の意を表します。

参考文献 1) Ellyin, F.,ほか. Proc. Amer. Soc. Civ. Eng., 92 - EM.

2) 天川元基, 高温構造物の非線形挙動と有限要素法, 日本造船学会論文集,
No. 44 号 (1974) pp. 369 - 376.